

I-15 河床砂粒の運動機構に関する研究(第1報)

—滑面水路における移動速度—

九州大学工学部 正賀 伸東一作

田中修次人

1. 緒言

河床上を輸送される砂粒の移動速度は、その単位面積上の移動砂の数か率流砂量を生じる要であるが、基本的な問題であるにすぎない。流木中の砂粒の挙動を解明するに於て、砂粒に働く流体力を推定評価する手掛りを与えた。また、最近、鉱山、製造工場、建設業などで、固体を流水によく運動させる「水力輸送」が利用されようになつてきており、この方面からも流水中の固体の運動機構が問題になつてゐる。これらの研究の一歩として、我々は滑面水路における各種形状の固体の移動速度について実験を行ない、若干の考察を試みた。

2. 実験装置および方法

中40cm、有効長12mの鋼製(片面アクリライト)可変勾配水路に水を流し、その中に供試体を投入してその移動速度をストップウォッチで測定した。同時に、水深方向の流速分布をピトー管2"水面形をボイントゲージで測定した。また、供試体の水中での動摩擦係数を測定するためには、15×20×400cm³アクリライト水槽を傾斜させて中に水を貯め、その中に供試体を滑動または転動させてその移動速度を測定した。実験に使用した供試体は表-1のことおりである。

表-1 供試体の諸元

形状	材質	比重	寸法
正六面体	鉄	7.86	3×3×3cm, 2×2×2, 1×1×1
"	アルミニウム	2.70	同上
直方体	鉄	7.86	2×2×1, 2×2×0.5
"	アルミニウム	2.70	同上
球	鉄	7.86	径 2.54, 1.90, 1.27, 0.79
"	ガラス	2.50	径 2.44, 1.64, 1.27
玉石	石	2.40~2.75	nominal diameter 1.12~2.69
碎石	石	2.69~2.93	" 1.28~2.78

3. 動摩擦係数と抗力係数

(1) 正六面体

正六面体が静水中の斜面を滑り落ちる場合、供試体の移動速度を_gu, 水の抵抗力をD, 抗力係数をC_D, 揚力-L, 揚力係数C_L, 供試体の水中重量をW', 正六面体の一辺の長さをa, 水および供試体の密度をそれぞれρ_水およびρ_空, 供試体と斜面との摩擦力をF, 水中動摩擦係数をμ', 斜面の傾斜角をθとする。W'=(ρ-ρ_空)g a³, D=1/2 C_D a² u_g², L=1/2 C_L a² u_g², F=μ'(W'cosθ-L) たり。供試体の運動方程式は、

$$(ρ + \frac{1}{2} F) a^3 \frac{du_g}{dt} = W' \sin θ - D - F \quad \text{故に } \frac{du_g}{dt} = \frac{\frac{sg}{a} (\sin θ - μ' \cos θ)}{\frac{sg}{a} + \frac{1}{2}} - \frac{C_D - μ' C_L}{2a(\frac{sg}{a} + \frac{1}{2})} u_g^2$$

ここで、sgは供試体の水中比重である。上式をt=0でu_g=0として積分すると

$$\frac{u_g^2}{sg a} = \frac{2(\sin θ - μ' \cos θ)}{C_D - μ' C_L} \left\{ \tanh \left(\frac{\sqrt{C_D - μ' C_L}}{\frac{sg}{a} + \frac{1}{2}} \sqrt{\frac{sg}{a}} t \right) \right\}^2 \quad ①$$

となる。後出のようすにC_D-μ' C_L≈1.0であるから、sg=7.86, a=3cm, t=1sec とする。tanh((C_D - μ' C_L)/2a + 1/2) ≈ 0.9997 となり、移動速度は1秒程度で定常状態に達する。従つて以下の方は定常状態につれて行なう。

定常状態では

$$\frac{U_g^2}{sg \cos \theta} = \frac{2(\tan \theta - \mu')}{C_D - \mu' C_L} \quad ②$$

C_D , C_L , μ' はconst. と考へらるゝと $U_g^2/sg \cos \theta$ と $\tan \theta$ は直線関係にある。実測値より $U_g^2/sg \cos \theta$ と $\tan \theta$ を計算して \log ロットし、最小自乗法で μ' を求めた。鉄 $\mu' = 0.41$, シュラルミン $\mu' = 0.39 \times 15.3$ また、この μ' を用いて $C_D - \mu' C_L$ を逆算する。

2. 圖-1 のようになり、球の場合と異なりレイノルズ数に無関係で、 $C_D - \mu' C_L \approx 1.0$ となる。 C_D として正方形の板の抗力係数 $C_D = 1.16$ を用いたと $C_L \approx 0.4$ となり、やはり揚力か妨りうて球となることわかる。

(2) 球

球の場合には D, L の他に Magnus 効果が付く。無限に長い円柱の Magnus 効果は $\rho \pi d^2 U_g^2 / 2$ あるから球に対する補正係数 m を用ひて $M = m \rho \pi d^2 U_g \times L$, $F = \mu' L W \cos \theta - L + M$ とする。

$$\frac{U_g^2}{sg \cos \theta} = \frac{4}{3} \frac{\tan \theta - \mu'}{C_D - \mu' C_L + 8\mu'm} \quad ③$$

となる。 C_D は $Re = U_g d / \nu$ によって変化するか、実験の範囲では $Re = 10^3 \sim 10^4$ 程度で、かつ、同一種の球の Re の範囲は更に狭いから、同一の球に対する③式右辺は分子は一定とみなしても、 $\mu' = 0.4$ 実験値より $U_g^2/sg \cos \theta$ と $\tan \theta$ を求めた μ' を用いて③式の関係より各実験値における $(C_D - \mu' C_L + 8\mu'm)$ を計算し $Re = U_g d / \nu$ に対して \log ロットすると圖-2 のようになる。 $(C_D - \mu' C_L + 8\mu'm)$ は Re によって変化していないが、距離や比重による差異は認められない。図中に静水中を沈降する球の抗力係数 C_D を直線で記入したところ、 $(C_D - \mu' C_L + 8\mu'm)$ はそれよりやや大きくなっている。次に、これを玉石の実験結果と比較してみると、玉石の μ' は $0.18 \sim 0.35$ の範囲で球の $\mu' = 0.04$ よりかなり大きく、まことに $(C_D - \mu' C_L + 8\mu'm)$ は圖-3 に示すように球のそれより大きくなるのが明らかである。いくつかの玉石では球のそれとほぼ一致している。このように、球と玉石との μ' の値が大きく異なるにもかかわらずいくつかの玉石の $(C_D - \mu' C_L + 8\mu'm)$ の値が球のそれと一致するといふことは、揚力や Magnus 効果の影響が小さいから $C_L \approx 8m$ であることを暗示する。

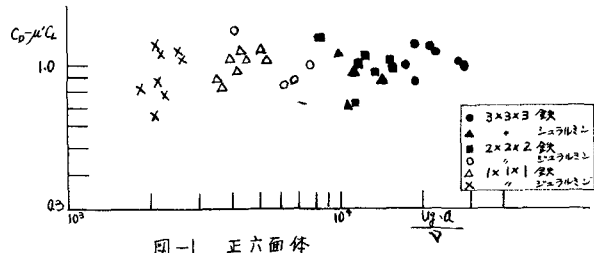


図-1 正六面体

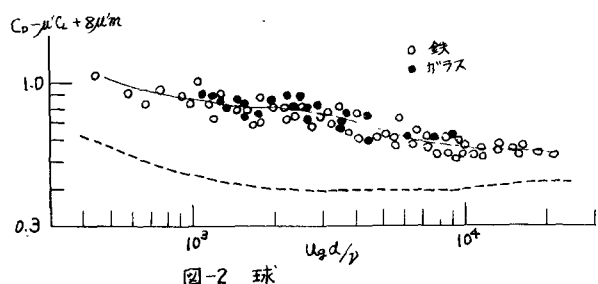


図-2 球

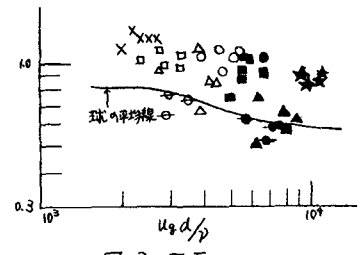


図-3 玉石

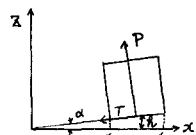
4. 流水中の固体の移動速度

(1) 正六面体

定常状態での力の釣合いで $D + W \sin \theta = \mu'(W \cos \theta - L)$ であるから、 $u_g = 0$ のとき流速を u_c 、 $\varphi' = u_g/u$ 、 $\varphi'_c = u_{gc}/u_c$ とおくと、 $u_g/u = 1 - u_c/u = 1 - \varphi'_c u_{gc}/\varphi' u_c$ となる。 $\varphi' = \varphi'_c$ とする。

$$\frac{u_g}{u} = 1 - \sqrt{\frac{\varphi'_c}{\varphi'}} \quad (4) \quad \text{ここで } \varphi' = \frac{u_g^2}{sga}, \varphi'_c = \frac{u_{gc}^2}{sga}$$

φ'_c は const と考えられるので u_g/u は $1/\sqrt{\varphi'}$ と直線関係になる。実験値で i) u_g/u と $1/\sqrt{\varphi'}$ を求めたところ、すこし図-4のようになり、 $u_g/u < 0.5$ の範囲では実測値が $u_g/u = 1 - \sqrt{0.0021/\varphi'}$ のまわりにちらばっており(4)式が成立していないことがわかる。また、 $\varphi'_c = 0.0021$ となり、流砂の粒度が 0.05 よりずっと小さい。しかし、 u_g/u が 0.5 をこえないと、実測値は上記の直線より大きくなる上にはずれており、(4)式が通用できないことがある。これは u_g/u が大きくなると供試体と水路床間にうすい water film ができるで摩擦抵抗が減少するためであると思われる。そこで、このような場合の固体の運動を潤滑面の理論を用いて検討してみる。



左図のようにスライド軸を供試体に固定して考えると供試体が静止し水路床から $-u_g$ の速度で移動することになる。次に、りすき間は非常に小さいので Re 数小さく、慣性項は無視でき、ii) $U \gg V$ 、iii) $U \gg W$ のとき間は平行に近いので $\partial U / \partial Z \gg \partial U / \partial X$ と仮定すると、Navier-Stokes の方程式は簡単に $\partial V / \partial X = \mu \partial^2 V / \partial Z^2$ となる。これを積分して境界条件 $Z=0$ で $V=-u_g$ 、 $Z=h$ で $V=0$ 、 $X=x_0$ かつ $x=x_0$ で $P=P_0$ を用いて供試体の底面に働く圧力 P を求めよう。

$$P = \frac{\epsilon \mu u_g d^3}{(n-1)^2 h_0^2} \left(\log n - 2 \frac{n-1}{n+1} \right) \quad (5)$$

$$\text{ここで, } h_0 = \alpha x_0, \quad h_0/x_0 = x_1/x_0 = n$$

また供試体の底面の抵抗は $T = \mu (\partial V / \partial Z)_{Z=h}$ を積分して

$$T = \frac{\mu u_g d^3}{\alpha} \left(\frac{1-n}{1+n} - 2 \log n \right) \quad (6)$$

x 方向および z 方向の力の釣合により、 $P \cos \alpha = W \cos \theta$ 、
 $T \cos \alpha + D = 0$ であるから、 $\cos \alpha = \cos \theta = 1$ となる。

$$\frac{u_g}{u} = \frac{1}{1 + K \left(\frac{3n-2}{u_g^2} \right)^{\frac{1}{2}}} \quad (7)$$

$$K = \left[\frac{4}{\pi \sqrt{6}} \frac{3 \frac{n-1}{n+1} + \log n}{\log n - 2 \frac{n-1}{n+1}} \right]^{\frac{1}{2}}$$

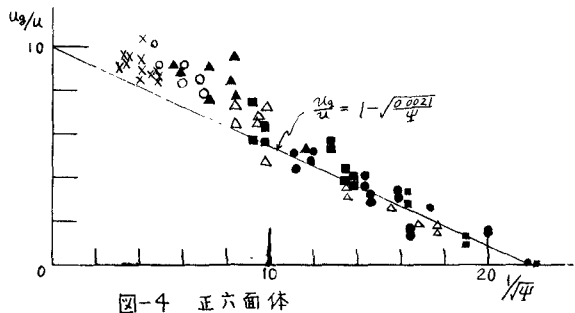


図-4 正六面体

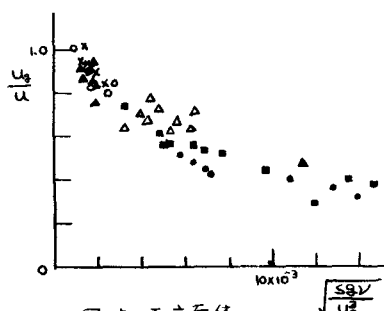


図-5 正六面体

直方体も正六面体と同様で、 $U_g/U > 0.5$ のとき U_g/U の値は $U_g/U = 1 - U_d/U$ の線から上方向にはずれる。
(図-6 参照)。この部分に対する⑦式のパラメータ \sqrt{sgd}/U^2 をプロットすると 図-7 のようになる。

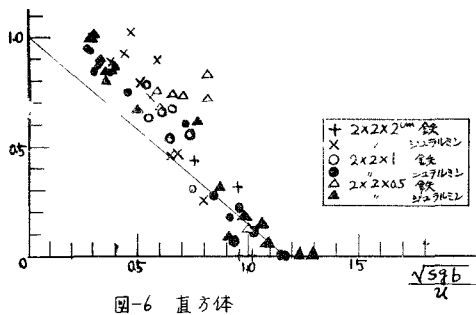


図-6 直方体

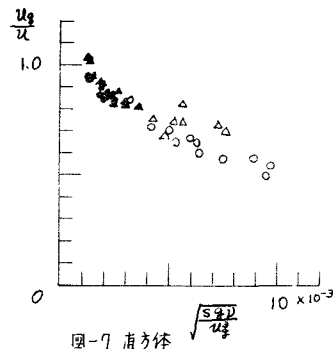


図-7 直方体

(2) 球

流れの抵抗力 D 、揚力 L 、Magnus 効果 M は U と U_g の大小関係により向きが異なる。また、流速は水深方向に変化するから球に作用する相対速度 $(U-U_g)$ も変化し、一般には右図のように球の上部と下部で向きが逆になる。 $\theta = \pi/2$ 、 D, L, M に対する代表流速をそれぞれ U_0, U_L, U_M とする。力の向きを考慮して $D = \frac{P}{2} C_D \frac{\pi}{4} d^2 (U_0 - U_g) / U_0$, $L = \frac{P}{2} C_L \frac{\pi}{4} d^2 (U_L - U_g) / U_0 - U_g$, $M = m \rho R d^2 U_g (U_M - U_g)$ となる。定常状態では $D + L + M \sin \theta = \mu' (W \cos \theta - L - M)$ となる。

$$\frac{(U_0 - U_g) |U_0 - U_g|}{sgd} = \frac{4}{3C_D} (\mu' \cos \theta - \sin \theta) - M \frac{C_L}{C_D} \frac{(U_0 - U_g)}{sgd} - 8 \frac{U_M}{C_D} \frac{U_g (U_M - U_g)}{sgd}$$

U_0, U_M として U の奥の流速をとればよく今は不明である¹⁾。 $U_0 = U$, $U_L = U_M = k_U U$ とすると、

$U > U_g$ の場合

$$\frac{U_g}{U} = 1 - \sqrt{\frac{4}{3C_D} (\mu' \cos \theta - \sin \theta) \frac{sgd}{U^2} - (k_U - \frac{U_g}{U}) \left\{ \frac{\mu' C_L}{C_D} / k_U - \frac{U_g}{U} \right\} + 8 \frac{U_M}{C_D} \frac{U_g}{U}}$$
 ⑧

となる。上式によると、 U_g/U は $L = M = 0$ の場合の値 $U_g/U = 1 - \sqrt{\frac{4}{3C_D} (\mu' \cos \theta - \sin \theta) \frac{sgd}{U^2}}$ は軽べて $k_U - U_g/U < 0$ のとき小さく、 $k_U - U_g/U > 0$ のとき大きくなるが、これは L, M の向きが $k_U - U_g/U < 0$ のとき下向き、 $k_U - U_g/U > 0$ のとき上向きになるためである。実験値より U_g/U を $\sqrt{\frac{4}{3C_D} (\mu' \cos \theta - \sin \theta) \frac{sgd}{U^2}}$ を求めてプロットすると図-9 のようになる。 $U_g/U \approx 0.8$ を境にして実験値は $U_g/U = 1 - \sqrt{\frac{4}{3C_D} (\mu' \cos \theta - \sin \theta) \frac{sgd}{U^2}}$ の線の上下に分かれている。これより $U_g/U \approx 0.8$ で $k_U - U_g/U = 0$ すなわち $k_U \approx 0.8$ と考えられる。⑧式を変形すると

$k_U - U_g/U < 0$ のとき

$$\frac{U_g}{U} = \frac{1 - \alpha k_U - \beta k_U - \sqrt{(1 - \alpha k_U - \beta k_U)^2 - (1 - \alpha + 2\beta)(1 + \alpha k_U^2 - \alpha \frac{3sgd}{U^2})}}{1 - \alpha + 2\beta}$$

$k_U - U_g/U > 0$ のとき

$$\frac{U_g}{U} = \frac{1 - \alpha k_U + \beta k_U - \sqrt{(1 - \alpha k_U + \beta k_U)^2 - (1 + \alpha + 2\beta)(1 + \alpha k_U^2 - \alpha \frac{3sgd}{U^2})}}{1 - \alpha + 2\beta}$$

$$\therefore \quad \alpha = \mu' \frac{C_L}{C_D}, \quad \beta = \frac{4U'M}{C_D}$$

$$A = \frac{4}{3C_D} (\mu' \cos \theta - \sin \theta)$$

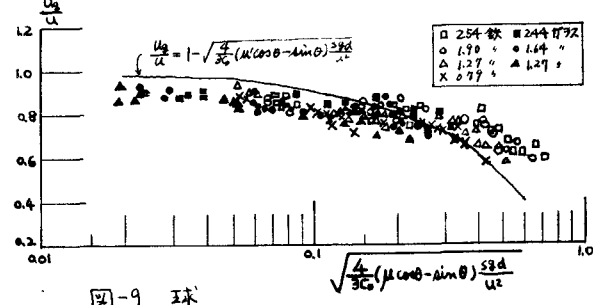


図-9 球